

大阪大学 正員 小松宏夫
大阪市 正員 ○石岡英男
日立造船(株) 正員 熊谷萬司

1. 考え方 南港南埠頭連絡橋(仮称)は、図-1に示すような基本寸法をもつマルケーブルタイプの斜張橋である。ケーブルの段数は10段で、上側の4段はPWS271、中間の4段はPWS184、下側の2段はPWS114が使用されてい

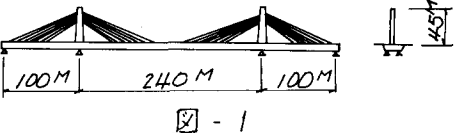


図-1

3. 各段のケーブルは、2本の単ストランドが構成され、これらは平衡的に50cmの間隔で平行に配し、それと各主析と塔に固定されている。ケーブル定着点は、ケーブルから導入された応力の伝達が明確であること、製作時の組立、溶接が確定していること、ケーブルの張直し作業が簡単となることなどを主眼にして、構造を決定した。以下に、定着点の構造と、それに対する応力の分布状態などを照査するために行なった有限要素法による解析結果について、概要を報告する。

2. 主析側のケーブル定着点の設計

ケーブル軸力は、図-2に示すように、座金および定着受析を介して、定着縦析の2枚の腹板に伝達される。ケーブル軸力のうち水平分力は、定着縦析を通じて上フランジに流れ、主析腹板、下フランジへと応力が分散され、やがて全断面均一の主析圧縮応力を与える。いっぽう鉛直分力は、定着部に設けた主析の隔板を通じて、主析断面全体に直接作用すると考えられる。このことから、主として、ケーブル軸力による定着部の局部的な応力状態、ケーブル軸力の水平分力の伝達のしかたなどを確認するため、図-3のようなモデルにより

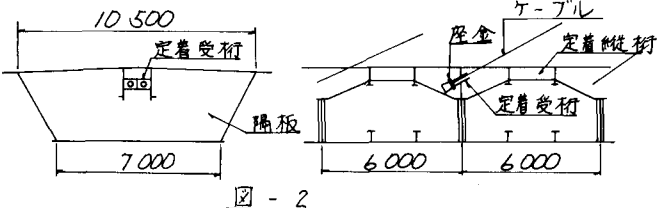


図-2

、有限要素法による立体解析を行った。着目点はPWS271定着点とし、1つの定着点からの応力の流れを把握するため、他の定着点のケーブル軸力の影響を入れないで計算した。したがって、他のケーブルの影響を含めて考えた際は、この計算結果を用いて、重ね合せの方法をとった。解析結果によると、ケーブル定着点付近には大きな応力が発生するが、その応力が定着縦析より、主析の上フランジ、腹板、下フランジへと急速に分散し、定着点より約25Mの距離にあたる主析断面にかけて、一様な圧縮応力となっている。主要部の最大応力度については、有限要素法による解析結果と、慣用計算による結果を比較して表-1の通りである。全体としては有限要素法による解析結果のほうが、値が大きい。これは、応力の分散が非常に良いためだと思われる。また定着縦析の圧縮応力度については、有限要素法による値のかわりに大きい。この理由は、定着点付近に生じる

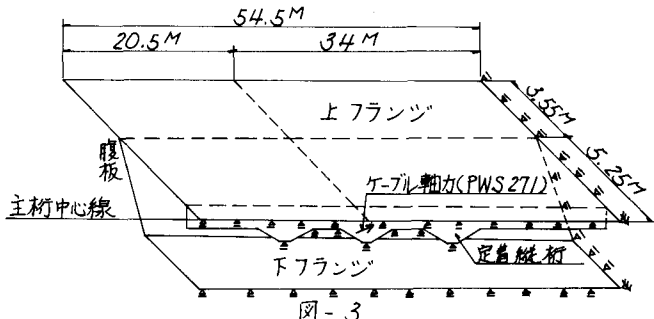


図-3

結果を比較して表-1の通りである。全体としては有限要素法による解析結果のほうが、値が大きい。これは、応力の分散が非常に良いためだと思われる。また定着縦析の圧縮応力度については、有限要素法による値のかわりに大きい。この理由は、定着点付近に生じる

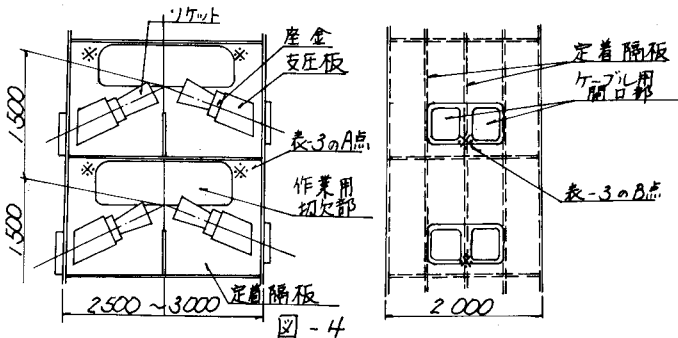
表-1 (kg/cm²)

応力度	定着縦析		上フランジ(定着縦析直上)		上フランジ(鋼床版部)	
	SMA 50	SMA 41	SMA 50	SMA 41	SMA 50	SMA 41
有限要素法値	0	2	0	2	0	2
慣用計算値	-823	491	-627	381	-406	262
比率	0.95	1.16	1.14	1.63	1.24	1.10

局部応力によるものであると考えられる。この位置での定着隔板断面の平均圧縮応力度の有限要素法による計算値は、425kgf/cm²、慣用計算による結果782kgf/cm²と比較して、かなり低くなっている。

3. 塔側のケーブル定着点の設計

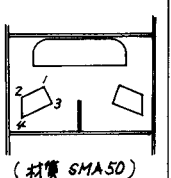
塔側定着点の構造は図-4に示す通りで、ケーブルソケット部の座金の反力を、3枚の定着隔板の側面に設けた支圧板に受け持たせ、支圧板より定着隔板、塔フランジへと応力を伝達するようにして。この構造の場合、(1)外側定着隔板は、支圧板の板厚中心に定着隔板の板厚中心の偏心により生ずる



面外曲げモーメントを受けること。(2)定着隔板の作業用切欠部および、塔フランジのケーブル用の開口部の周辺に応力集中が考えられることが、なぜか、これらの影響を十分調査しておかなければならぬ。よって、ケーブル軸力に最大値を与える荷重状態(D+L+P_S)に対し、有限要素法により、図-2の2つの解析を行った。(1)定着隔板のみの応力解析。(2)定着隔板、塔フランジ、塔腹板を一体とした立体応力解析。応力解析はPWS271 定着点を対象として行い、PWS184、PWS114についてはその計算結果を算出した。まず定着隔板については、面外曲げモーメントの影響以外

表-2

場所	応力			面内荷重による応力度			面外曲げモーメントによる応力度			合計応力度			σ_r	(kg/cm ²)
	σ_x	σ_y	τ_{xy}	σ_x	σ_y	τ_{xy}	σ_x	σ_y	τ_{xy}	σ_x	σ_y	τ_{xy}		
測定着隔板について 解析結果を示す まとめると表-2 の通りである	直 1	75	17	17	1059	1332	135	1134	1349	152	1283			
	左 2	124	-126	52	1199	-1031	165	1323	-1157	217	2182			
	右 3	295	28	22	1211	-1068	129	1506	-1096	151	2278			
	中 4	279	-42	57	1026	-1159	194	1305	-1201	251	2214			
面内最大応力			472	-9	93	266	-223	20	738	-232	113	899		



この表によると面外曲げモーメントによる応力度が非常に大きくなっている。したがって面外曲げモーメントを受ける中央定着隔板については、応力的には十分余裕があるといいかねる。

つぎの全体の立体解析は、ケーブル軸力の鉛直分力のみ考慮した状態で行つた。定着隔板、塔フランジとも、切欠部あるいは開口部から離れた箇所では、応力は均一化されていくが、切欠部、開口部の周辺に応力集中が生じた。応力集中部の最大応力度 σ_m は、切欠部、開口部周辺の、直上の2段のケーブル軸力鉛直分力による応力度を σ_1 、3段目以上のケーブル軸力鉛直分力による応力度を σ_2 、中央径間側と側径間側のケーブル軸力の水平分力の差による曲げ応力度を σ_3 とし、次式で照査した。

$$\sigma_m = \sigma_1 + \sigma_2 + \sigma_3$$

安全側のため、 σ_m としては塔の曲げモーメントが最大となる荷重状態を採用している。

主観部について計算すると表-3の通りである。
3. 応力集中部の値は、上段側は値が大きく、下段側は値が支配的となる。

4. あとがき

南港南埠頭連絡橋のケーブル定着点を採用した構造を紹介した。ケーブル定着点は、ケーブル軸力が集中的に作用し、局部的に大きな応力が作用する。特に断歎欠損による応力集中の程度については、十分に確認する必要がある。本文では、本稿に有限要素法を適用して、定着点付近の応力分布を明らかにし、その安全性を照査した結果について述べた。

着目点	材質SMA50			計
	σ_a	σ_b	σ_m	
定着隔板 A 4段目ケーブル定着点直下 10段目ケーブル定着点直下	1370	280	195	1845
	726	1011	277	2014
塔フランジ B 4段目ケーブル定着点直下 10段目ケーブル定着点直下	1121	565	269	1955
	393	1358	376	2127